

グラフ理論適用による剛性行列のバンド幅に関する考察

京都大学工学部

山西一郎

京都大学工学部

白石成人

京都大学工学部

口谷口健男

1. 緒論

近年、電子計算機の発達には、まったく目がましものがあり、その容量、計算所要時間は飛躍的に増加、短縮されております。

一般に、構造物を解析するのに大型計算機を用いた場合、容量上十分な余裕がみられても、中型機を用いた場合、何らかの手法を用いねば、一度に解剖は不可能というケースは常に生じます。この場合、インプットするデータ量を減少せよなり、分割するなりして、計算機個体の容量内に納めねば要がります。

対象構造物を骨組系にかかげておき、その剛性行列は一般に零要素が多く疎であるが、節点番号を適当に付けねば、非零要素は剛性行列の対角部に集まり、いつつも帶行列となる。この帶行列の帯幅 (band width) の大、小は、電子計算機へのインプット・データ量の大、小を決定し、よって効果的に計算機を用いるためには、対象骨組系の最適節点番号付けという問題を解剖しなければならぬ。通常の高層セルディング等の骨組系においては、同じパターンの繰り返しが多く、経験的にかなり帶幅のせまい剛性行列を組み立てることが可能であるが、構造形式におけるは、たゞ節点数、部材数が少くとも最適節点番号付けが非常に困難となる場合がある。

最適節点番号下における帶幅は、対象構造物の物理的特性、例之ば剛性剛性、座標位置、荷重等に向う関係なく、ただ適切な番号列を付加された節点間の接合の有無のみに關係し、すこく同じ系においても番号順序を変えれば、帶幅も変化する。

以上のことをより、この問題は、対象を骨組として見ておく、單なる点と線の集合体、あるいは一つのグラフと考へるといつても十分である。骨組系をグラフで置き換えることにより、従来の物理的諸概念は全く消去され、たゞ点と線の接合関係のみ残さることになる。

本研究においては、骨組系は点と線で構成されるグラフであるとの認識の上に立ち、グラフ理論の諸概念を導入して、骨組の剛性行列の帯幅の問題に検討を加えてみた。

2. 骨組とグラフ

グラフ G とは点と線の及び面から成る图形のことであり、骨組系の節点、部材は G の点、線にあたる。グラフにおける各部分に分離してしまふグラフも許されますが、構造系では、これらは互に独立な系として取り扱われるが、一つの骨組系は一つの連結グラフと考えられる。

今回の問題は帶幅についてであり、右図-1に示す山字骨組において、 a , b 両部材は、その剛性の影響を受ける点は各々 A, B 両点のみであり、他の点には影響は生じない。このように datum node (基準点) に接続する部材は帶幅を考える場合に除去され、図-1 の系は図-2 のグラフに置き換えられる。

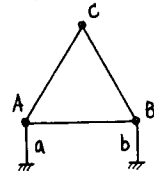


図-1. 骨組系

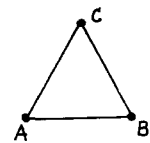


図-2. 置換グラフ

グラフ $G(m, m)$ には n 個の点、 m 本の線よりなるグラフである。よって元の骨組系(system)とは、System $(m, m+m_d)$ $\rightarrow G(m, m)$ の置換が行なわれてこことになる。ここで、 m_d は datum node に接続している辺数である。

以下、後に用ひられるいくつかのグラフ理論の概念について説明をとどめる。

• 距離 (distance) ; 略字 $\equiv d$

距離とは、互に必ず1個の線で分離して連結されていける2点間に存在する介在線の本数のことであり、右図-3の例を言へば、
 (a, b) 間の距離 $= 4$

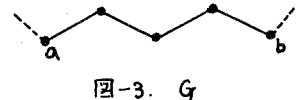


図-3. G

• 次数 (degree) もしくは 度数 ; 略字 $\equiv \deg.$

1つの点に直線出入りしている線の数を言ひ、図-2の各点の次数は、すべて2である。1本の線は必ず2点に出入りする。言い換えれば、1本の線はその両端を必ず2点に接続するから、 $G(m, m)$ は、
 $\sum_{i=1}^m (\deg. of a point "i") = 2m \quad (2-1)$

• 直径 (diameter) ; 略字 $\equiv d_0$

半径 (radius) ; 略字 $\equiv r_0$

$G(m, m)$ における任意点 (i 点) と他の全ての点への最短距離 d を求めよ。そのうち i の最長のものを d_i とする。これを全ての点について行ない、 i においても $(d_1, d_2, \dots, d_i, \dots, d_m)$ とする、この d_i と d_m のうち最長のものを G の直径 d_0 、また最小のものを半径 r_0 と言う。図-4 の例における。

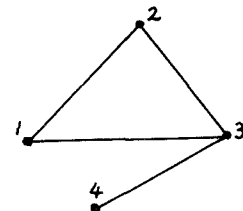


図-4. グラフ G

$$d_1 = 2, d_2 = 2, d_3 = 1, d_4 = 2 \quad \text{よって } d_0 = 2, r_0 = 1$$

これはより、点-3が $G(3, 4)$ の中心であることがわかる。一般に、点の数 (m)、直径 (d_0)、半径 (r_0) の間には次式が成立する。

$$m > 2r_0 \geq d_0 \geq r_0 \quad (2-2)$$

• 完全グラフ ; 略字 $\equiv G_C$

完全グラフとは、 G に含まれる全ての点と点の間の距離が1である、言い換えれば、全ての点間に1本の線が結ばれており、よって $d_0 = r_0 = 1$ のグラフを言う。 G_C における

$$m = m(m-1)/2 \quad (2-3)$$

三角形は一番簡単な完全グラフの一つである。 $G_C(3, 3)$ が示される。完全グラフが平面グラフと区別するのは4点完全グラフまでであり、5点以上以上の多点完全グラフは非平面グラフとなり、もし交叉せずに画こうとすれば、多点トーラスを用ひなければならぬことは自明である。

• 補グラフ ; 略字 $\equiv \bar{G}(n, \bar{m})$

ある一つのグラフ $G(m, m)$ の補グラフ $\bar{G}(n, \bar{m})$ とは、 G と全く同じ点数をもち、 G のうち2距離1である2点間に線を結ぶし、表示するグラフのことである。 \bar{G} は、 G と G の完全グラフ G_C による2次式を求められる。

$$\bar{G}(n, \bar{m}) = G_C(n, n(n-1)/2) - G(m, m) \quad (2-4)$$

3. 帯幅に影響を与える諸要因

この節において、任意グラフの帯幅に影響を与える諸要因を簡単なグラフよりさくめてみる。
n点、m線よりなるグラフ $G(n, m)$ を考える。このn個の点に適当に1~nの番号を付し、節点間の接続の有無を示す節点接続行列 $A (m \times n)$ を作る。この行列 A の列ベクトルは注目ある。

$$A = [A_1, A_2, \dots, A_i, \dots, A_n] \quad (3-1)$$

この行列 A を用ひる。グラフ G の剛性行列ともいふべき行列 K は、下式で表わされる。

$$K = A^t A = \begin{bmatrix} A_1^t A_1 & A_1^t A_2 & \cdots & A_1^t A_i & \cdots & A_1^t A_n \\ A_2^t A_1 & A_2^t A_2 & \cdots & A_2^t A_i & \cdots & A_2^t A_n \\ \vdots & \vdots & \ddots & \vdots & \ddots & \vdots \\ A_n^t A_1 & A_n^t A_2 & \cdots & A_n^t A_i & \cdots & A_n^t A_n \end{bmatrix} \quad (3-2)$$

もし i, j が同一の距離 > 1 をもつば $A_i^t A_j = 0$

もし i, j が同一の距離 ≤ 1 をもつば $A_i^t A_j \neq 0$

すなはち、従来用ひられて Branch Node Incidence Matrix ; A を用いた場合 (3-2) 式の対角要素 $A_i^t A_i$ には正整数が入るが、これは各点に出入する線の数、すなはち次数を示し、 i, j 間に $d=1$ の関係であれば $A_i^t A_j = -1$ 、もし i, j 間に接続がないれば $A_i^t A_j = 0$ となる。また、次式が成立する。

$$\sum_{j=1}^n A_i^t A_j = 0 \quad (3-3)$$

すなはち、各行にみる i の対角要素に示された数に等しい (-) 要素が同一行内に存在する。

1つの完全グラフ G_C を考える。との各点の次数は全 $n(n-1)/2$ である。すなはち、全ての点間の距離は $d = 1$ であり、グラフの直径 = 1。よって G_C の K を作れば、全要素は非零となり。

Half Band Width (H.B.W.) = m となる。 n 個全、節点番号は全く任意により。完全グラフより任意に1本線を除去しよう、この除去された線の両端点間に直接の接続がなくなることになり、その距離は $d = 2$ となる。他の全ての点間の距離は変化せず $d = 1$ であることに。 $d_0 = 2, r_0 = 1$ 。

このグラフの K を考えると、この直径を構成する2点の一方に番号1を、他方に $n-1$ 、そして他の $(n-2)$ 個の点には任意に $2, 3, \dots, n-1$ の番号を付ければ、 K の $(1, n), (n, 1)$ 元要素 = 0 となり。

H.B.W. は G_C の K のうちより1つ減少し、 $(n-1)$ となる。一般に、グラフの諸点における次数の少ない点ほど、直径の両端点となる率が高く、節点番号の 1、または n を付ける一つの目標となる。以上の完全グラフに関する考察より、次数がより直径を帶幅決定の主要因であることがわかる。

次に幾型的ないくつかのグラフに考察を加えてみる。図-5 に示すのは一点集中 Tree Graph である。特徴は、1点のみが完全であり、他の全点の次数は 1 にあり、 $d_0 = 2, r_0 = 1$ 。この最適番号順序は図に示してあります。最も多次数点に番号の中心となることを付してある。H.B.W. = 4 となり、図-6 の K よりも、これが理解できます。集中点が存在する場合、集中点より $d = 1$ の全点を、どのように分剖するかのように集中点に番号を付ければよいことかに留めます。また、 K 図より認められる特性として、直径の距離数に質い数で、点より点までの n 点をできるかぎり等分割するかのように点番号を付すことかが望ましく、そのように番号を付すことによって生じる場合に、帯幅は最小となることがあげられます。

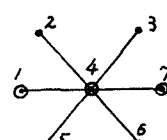


図-5. 1点集中グラフ

1	2	3	4	5	6	7
1	■					
2		■				
3			■			
4				■		
5					■	
6						■
7						

図-6. K

次に連結グラフと1つ最も単純なグラフを挙げる。例は図-7に示されたようす。点列が直列に連結されたものである。このグラフは $K(m, m-1)$ で、 m 点連結グラフで最小本数の線で全点をつなぐ。この K は図-8に示され、 $H.B.W. = 2$ となり。全連結グラフにおける $H.B.W.$ の最小値が 2 であることを示す。 $H.B.W. = 1$ ならば、グラフは非連結となる。 $G(n, n-1)$ においては、 $d_0 = m-1$ であり、こうしたグラフ自体が直径を示す。この G にありて、 $\deg_i = 1$ は両端点、他の全ての点の次数 = 2。さて前述のように、次数の小さい 2 点に番号 1, 2 を付け、他の $(m-2)$ 点には 2 ～ $(m-1)$ の番号をその直径方向に順次付けなければならない。

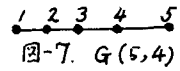
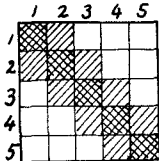


図-7. $G(5,4)$



以上のいくつかの簡単なグラフに関する参考があり、帶幅決定の重要な要因といふ、図-8. K

1. グラフの直径

2. 点の次数

が挙げられる。よつて以下の節におけることは、特にこの2つの要因に注目した帶幅の求め方を考える。

4. Tree System の最小帶幅の決定

3節で挙げた重要な要因に従つて、骨組構造物のうち最も単純と考えられるTree Systemについて、帶幅の求め方を考える。Tree System は、その名も示すとおり closed path の存在しない系のことを指す。いわゆる静定構造物である。以下、簡単なグラフから順次複雑な形へと、その最小帶幅を決定する手法を統一された圖式解法を見出しながら論を押し進める。

4-1. 一点集中 Tree System の場合 ($d_0 = 2, r_0 = 1$)

図-8に、二通り例が挙げられている。いま m 頂点を有するとき、集中点の次数 = $m-1$ である。この場合、集中点の節点番号は 1 ～ m のうち中央に当る番号を付したとせ、 $H.B.W.$ は最小になることを前節が示しておなじく

$$H.B.W. = m - \left[\frac{m}{2} \right] + 1 \quad (4-1)$$

としてある。ここで、 $[]$ はガウス記号である。この $H.B.W.$ を圖式的に求め方を考へよ。集中点より左の節点番号をもつ点の個数と、右山以外の番号を持つ点の個数をなるべく等しくさせねばよいのがあらうから、次のようないくつかの手順を行はれよう。まず集中点以外の任意2点を pick up し、これら3点で直径を構成せよ。図-9に示すように横一列に並べる。集中点の上方に2点、左上方に2点となり。集中点と $d=1$ が連結されたりすることを示すためこれら4点と集中点を線で結ぶ。こうすれば、元のグラフの結合関係をくわすことなく、外見上は前とは違った新しいグラフを得る。ここで図の矢印に示されるように、左上方より下方に、そして直径を構成する点に到達すれば、次の列を上方から下方に、というように繰り返し、最終的には最左列下端の点まで順次1～ m 番号を付ける。こうすれば、集中点の番号は自動的に 1 ～ m の中央の番号に一致するに至る。この図示法を用ひれば、最適番号付加における時の $H.B.W.$ は、最大行数を持つ位連続の水平方向の連結。この場合には直径を構成する点の間にありて見出される。さうに、 $H.B.W.$ は次式によつても簡単に求めよこがべきだ。

$$H.B.W. = (\text{直径の } H.B.W.) + (\text{最大行数}) \quad (4-2)$$

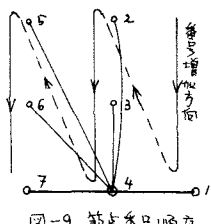


図-9. 節点番号順序

直線の H.B.W. は常に 2 通りあり、図-9 の場合、最大行数は 2 通りとも = 2 であり、事実と一致する。図-10 に図-9 の一般図を示す。直線を含む 2n 行存在し、よって集中点の次数 = 2n の場合を示してあるが、一矢集中系の場合、H.B.W. を 1 つ増加させるとには、次数が 2 増加せねばならないことか、この図よりわかる。この図示法では、最大節点番号差は水平線上にありて現れることから、連結線の許容方向は、水平、鉛直、右下りおよび左上りの 4 方向である。

4-2. 任意の一点集中 Tree System の場合。

集中点の次数が m である場合を考える。この例 3 つの直線 d_0 を求めることは、 m 本の点列のうち、最多点列（集中点より端点までの距離 = d_1 ）がある。次に長点列（距離 = d_2 ）の 2 本を選べばよく、これら 2 本の点列と集中点を含めたものが、直線を構成する。よって

$$d_0 = d_1 + d_2 \quad (4-3)$$

他の $(m-2)$ 本の点列は決して d_2 を越えてはなく、4-1 で提案した図式手法でこの場合にも適用するには、図-11 のように書き換へかねばならない。すなはち、任意の 1 点列は決して 2 行にわたることはなく、1 行内に納まる。よって、任意の一点集中系も、集中点から距離 1 の点の個数、換言すれば次数によると H.B.W. が確定する。これは、4-1 の場合と全く同じことである。図-11 の例題では、集中点の次数 = 7 であることをより、H.B.W. は 2 通りとも = 2 が図-11 もり認められ、これは事実に一致する。

4-3. 2 点集中 Tree System の場合。

Tree System の中に 2 個の集中点が存在する場合を考える。2 個の集中点間に、いま仮に 2, 3 の節点番号を付ける。2, 3 両集中点を結合する点列は、系が Tree であることに唯一本しか存在せず、この点列、すなはち 2, 3 両集中点間の距離を d_2 とする。この点列を含め 2, 2, 3 両集中点の次数をそれぞれ m_2 , m_3 とする。点 2 の m_2 本の点列より、上記 d_2 の点列を除く (m_2-1) 本の点列のうち最長の距離をもつものを選出し、その端点を 1 とする。同じ操作を点 3 の m_3 本の点列についても行い、 d_2 を除く最長の点列を 1 本選ぶ。その端点を 4 とする。1~2~3~4 はグラフの直線 d_0 を構成する。すなはち 1~2~3、および 3~4 の距離を各々 d_1 , d_3 とすれば

$$d_0 = d_1 + d_2 + d_3 \quad (4-4)$$

以上をまとめると、図-12 のようになる。右図における

$$\begin{aligned} d_1 &\geq d_2^i > d_2^{i+1} \quad (i=1, 2, \dots, m_2-3) \\ d_3 &\geq d_3^j > d_3^{j+1} \quad (j=1, 2, \dots, m_3-3) \end{aligned} \quad \left\{ \begin{array}{l} \text{次数;} \\ \text{直線を除く} \\ \text{点列の} \\ \text{次数;} \end{array} \right. \quad (4-5)$$

が成立する。 d_1, d_3 が d_0 に 2 通りあることと矛盾する。

図-12 は計算された Tree Graph が最も節点番号

番号付けが行なわれたとき、4-1, 4-2 で述べた図式解法により、直線を除く n 行ごとに点列が割り切られたところである。 $= 2^n$ 。 $n > m_2 - \left[\frac{m_2}{2} \right] - 1$ 、かつ $n > m_3 - \left[\frac{m_3}{2} \right] - 1$ なければならぬ

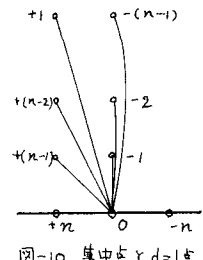


図-10. 集中点と $d=1$ の場合

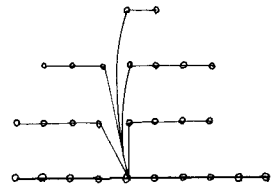
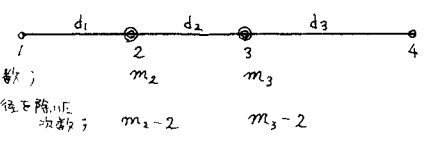


図-11. 図式解法
(1 点集中グラフ)



$(m_2-2); d_1^1, d_1^2, \dots, d_1^{m_2-2}$
 $(m_3-2); d_3^1, d_3^2, \dots, d_3^{m_3-2}$

図-12

在り。之のとき、1~2, 2~3, 3~4の各節点間に収納可能な点の個数を、いま容量(以下 Cap. と略記)と呼ぶこととする。

$$\text{Cap.1} = m d_1 \quad ; \quad 1 \sim 2 \text{ 間の点容量}$$

$$\text{Cap.2} = m d_2 \quad ; \quad 2 \sim 3 \text{ 間の点容量}$$

$$\text{Cap.3} = m d_3 \quad ; \quad 3 \sim 4 \text{ 間の点容量}$$

1~2間、かおか3~4間にあり2は、 d_1, d_3 か他の全2の点列より長2ことは、 $(m_2-2), (m_3-2)$ 本の点列中、最も長いものからM本づつpick upし、うち2で1~2, 3~4間に配置すれば、それらは必ずCap.1, Cap.3内に十分納まるることは自明である。ちやうれち1本の点列が2行にわたることとは決して生ぜず、以が1行内に過ぎない。

$$\left. \begin{aligned} \sum_{i=1}^{m_2} d_2^i &\leq \text{Cap.1} = m d_1 \\ \sum_{j=1}^{m_3} d_3^j &\leq \text{Cap.3} = m d_3 \end{aligned} \right\} \quad (4-6)$$

ちやうれち、1~2, 3~4間にあり2は、その行数nは、集中点2, 3より $d=1$ の点の数、ちやうれち次數のnにより確定されることはいうことである。

次1=2~3間につり2は、残りの $(m_2-2-n) + (m_3-2-n)$ 本の点列が配置されることはあり、よるく、少くとも

$$\left(\sum_{i=n+1}^{m_2-2} d_2^i + \sum_{j=n+1}^{m_3-2} d_3^j \right) = S_2 \quad (4-7)$$

個の点が必要になる。 $=n d_2^n, d_3^n$ のうちには、 d_2 より十分長い点列が存在する可能性もあり、よるく2~3間にあり2は、1~2, 3~4間にようつて簡単な次數nにより行数を確定することはできない。

もし、 d_2^i ($i = n+1 \sim m_2-2$) および d_3^j ($j = n+1 \sim m_3-2$) の点列を2~3間にあり2未1行から上方順に完全に密に配置するこことが可能ならば、 d_2^n, d_3^n が d_2 より大きくなる可能性があること、2~3間に配置された点列の次數に限り關係なく、たゞ2つの区間に配置された点列の点の個数のみによらず、行数nが確定することなる。よるく、もしもこの仮定が正しければ、ちやうれち式

$$\text{Cap.2} - d_2 - S_2 \leq d_2^n + d_3^n \quad (4-8)$$

が成立すれば、行数n之内に全点列が納まることを示し、最適な点配列が行なわれたことを示す。ちやうれち(4-8)式によれば、図-13に示すように、1~2, 3~4間にあり2n行で1行減少させてゆく。 $(d_2^n + d_3^n)$ の方より $(\text{Cap.2} - d_2 - S_2)$ より大きいため、2~3間に行数が逆にnとなり向らH.B.W.の減少に役立たないことを示しておる。H.B.W.のことをよ」と前述の仮定が成立し、かつ(4-8)式が成立した場合にあり2は、このTree GraphのH.B.W.は

$$H.B.W. = 2 + n \quad (4-9)$$

である。

次に、前述の仮定が正しいことを示す。図-14は図-13の2~3間にnを示す。今、2, 3両点の重複を除いた次數を m_2, m_3 とす。

$$\left\{ \begin{array}{l} m_2; (d_2^1, d_2^2, \dots, d_2^{m_2}), d_2^i > d_2^{i+1} \\ m_3; (d_3^1, d_3^2, \dots, d_3^{m_3}), d_3^j > d_3^{j+1} \end{array} \right.$$

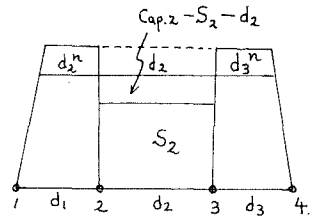


図-13

Σd_i^j , d_i^j は点列の長さを示す。 m_2, m_3 は全点列の点の総数である。

$Cap.2 = m_2 \times d_2$ と等しくなる。 T_2 である。方針を定めよう。

$$\sum_{i=1}^{m_2} d_i^j + \sum_{i=1}^{m_3} d_i^j = \bar{S}_2 + \bar{S}_3 = m_2 d_2 \quad (4-10)$$

Σd_i^j ; 点 i からの点列へ点の総数

\bar{S}_3 ; 点 i からの点列の点の総数。

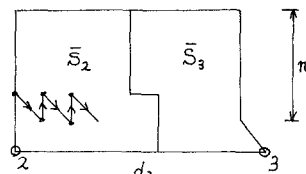


図-14

つきに、Cap.2 を図-14 に示すように \bar{S}_2, \bar{S}_3 の 2 部分に分割するか。この手法は、 Σ の空間の左端より $[S_2/m]$ 列目を分割し、 i にその次の列下ろす ($\bar{S}_2 - [S_2/m] \times n$) 個の点を付加するとしてよい。 \bar{S}_2 を Cap.2 の中に貼り付ける。よし、残りの点の個数は明らかに \bar{S}_3 である。 Σ の操作へ後、 \bar{S}_2, \bar{S}_3 を各々 d_2^j, d_3^j で埋めるとよい。それが次のようにして行う。まず \bar{S}_2 部分は $1 \sim 12$ 、最初に d_2^1 を Σ の部分に埋めよう。 \bar{S}_2, \bar{S}_3 の境界線で折返し必要な分を十分な行数を取る。図-14 に示したようにシグサグに d_2^1 個の点を連続する。 Σ の横幅を (m_2-1) 本の点列に $1 \sim 12$ も同じように行う。4-2 で述べた許容差方法の 2 によると、 \bar{S}_2 内の全点が $d_2^1 \sim d_2^{m_2}$ で埋めらるることはできる。次に \bar{S}_3 の部分は $1 \sim 12$ は逆に最も短い d_3^1 より同じ d_3^1 を操作に従う。下方より順次上方に埋め、2 行ある。 Σ によう。 \bar{S}_3 の部分も d_3^j ($j=1 \sim m_3$) で最も密に埋められることはできる。以下、例題により、2 点集中軸の H.B.W. の求め方を示すことにする。

[例題] (記号等は図-12 参照)

$d_0 = 19, d_1 = 8, d_2 = 5, d_3 = 6$ であり、集中点 2, 3 の次数を各々 m_2, m_3 とする。

$m_2 = 13, m_3 = 11$ である。その点列の長さは。

$$m_2; (8, 8, 8, 7, 7, 6, 5, 5, 4, 4, 4, 3, 3)$$

$$m_3; (6, 6, 6, 6, 6, 6, 5, 4, 4, 4)$$

2, 3 両点のうち次数の大きい方を M_{max} とする。

1~2 向の配置された点の総数は

$$M_1 = M_{max} - \left[\frac{M_{max}}{2} \right] = 7.$$

m_2, m_3 より長いより 7 本が取り出される。1~2, 3~4

間に配置され、残りの 2~3 向に配置された点列の点数は

$$S_2 = 40.$$

また、 $Cap.2 = M_1 d_2 = 35$.

よし 2, 2~3 向にありと、5 点だけ Cap.2 を越す $= 1$ である。

結果と 12 行数 $n = M_1 + 1 = 8, H.B.W. = 10$.

[例題]。

$d_0 = 17, d_1 = 8, d_2 = 3, d_3 = 6, m_2, m_3$ における点列長は上の倒錐と同じである。よし 2, $M_1 = 7$ 。7 行と 3 行。 $Cap.2 = d_2 \cdot M_1 = 21$ である。よし 2 に配置される点の数は 40。よし 2, $M_1 = 7$ に 2 点を 2 点列増加せよ。そのため 2~3 向の点列を 1~2, 3~4 向に振り分けよ。4-8 式を満足するよ。よし 2, $M_1 + 2 = 9$ 。方針を定めよ。H.B.W. = $9 + 2 = 11$ 。

よし 2 の倒錐の結果は、図-15, 16 に示す。

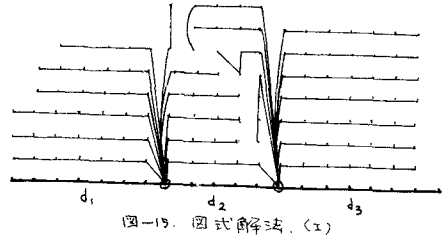


図-15 図式解法 (I)

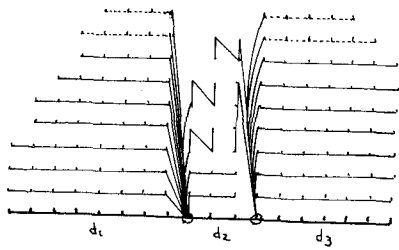


図-16 図式解法 (II)

§5. Mesh を含むグラフの帶幅に因る考察

第4節で述べたのは Tree Graph についてであり、任意の一点を取りあげて考える場合と、その点よりさらに集中点に距離 1 だけ近い 1 個の点の拘束を受けずに考える。よって言い換えれば、点の自由度が非常に大きく、すでに用いた 2 つの要因、すなはち直径と次数の 2 つ。この帶幅を求める手法を導くに至りました。

Mesh を含むグラフに含まない場合を考えると、Mesh を構成する点は少くとも 2 個以上の点よりの拘束を受けることになり、Tree Graph が得たように簡単な統一的最適節点番号付けの方法は見つからなくなってしまいます。上記の 2 つの要因以外の要因を導入するなり、あるいは他の帶幅決定手法を思い出す必要がある。以下、ある特殊なグラフの場合に有効な帶幅の決定手法を示す。

これは、与えられたグラフを直角用いるのではなく、その補グラフを利用する方法である。

例として図-17 に示される 2 つのグラフ(a)と(b)を、説明ある、この 2 つのグラフは、点の数、線の数、各点の次数、直径、半径が互に等しい。しかしながら、との H.B.W. は明らかに異なり。(a)の頂点は 4 つあり、(b)の頂点は 6 つである。この相違は、今までの 2 つの要因を用いても決して説明されないものである。又えども 2 つの要因を用いても、(a)は平面グラフであるが、(b)は非平面グラフであるといふことは、この例題では、この倒の場合、その他の補グラフを並め、比較すれば、この相違が非常に明確となる。図-17 の補グラフは図-18 に示されている。補グラフにおいては、元のグラフの大きな要素の 2 つ、即ち H.B.W. が示されている。今回例題に示されている H.B.W. を最小化しめる節点番号付けが容易となる。しかしながら、この手法が用いられるのは、線の数が非常太多の場合のみに限られることになる点を有する。

§6. 結論

組合構造物に対する、最適節点番号を付けられた場合、帶幅を推測する方法として、グラフ理論の定義された諸概念のうち、特に重要な要因 2 つ（直径および次数）を用い、構造形式の特徴を特に簡明な Tree System についての帶幅を求める圖式解法を提案し、簡単な例題にその手法を適用した。

ここに提案した圖式解法を用いると、帶幅のみならず、同時に最適節点番号付けも定められる。非常に有効である。

さらに一般的な mesh を含む複雑な帶幅決定法につけて、特殊な系に通用可能な補グラフを用いる手法を提案したが、この手法の適用範囲は限られており、さらにも一般的かつ統一的な帶幅決定手法を思い出せば、上記の 2 つの要因以外の他の要因を思い出さなければならぬと思われる。

[参考文献] フランク・ハリス著、池田貞雄訳「グラフ理論」、共立出版株式会社。